
Neuroinformatics in Functional Neuroimaging

DTU



Finn Årup Nielsen

Informatics and Mathematical Modelling
Technical University of Denmark
DK-2800 Lyngby, Denmark

Email: fn@imm.dtu.dk

WWW: <http://www.imm.dtu.dk/~fn>

OVERSIGT

- Hvad er “Functional neuroimaging”?
- Hvad er “Neuroinformatics”?
- “Kanonisk analyse”
 - Kanonisk ridge analyse. Til singulær kanonisk korrelationsanalyse. Indkapsler andre modeller.
- Link (citation) og term (ord) analyse
 - Forfatter og journal kociteringsanalyser
 - Kontekstfølsomme autoriteter
- Modelling af BrainMap data
 - (Sandsynligheds-) tæthedsmodellering
 - “novelty” (nyhedsværdi).
- Konklusion

HVAD ER “FUNCTIONAL NEUROIMAGING”?

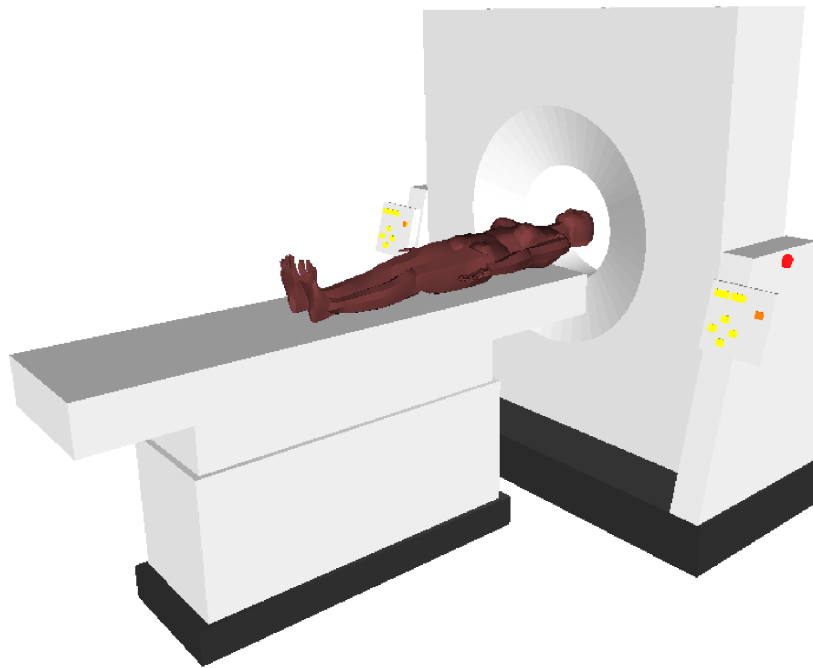


Figure 1: Model af positron emission skanner med en forsøgsperson.

- Functional Neuroimaging = funktionel “hjernebilleddannelse”: Billeder af den arbejdende hjerne.
- Hjerneskanning der producerer to- eller tre-dimensionelle billeder/volumener: PET, fMRI. EEG, MEG.
- ...Mens en forsøgsperson udfører en “tankeopgave”: Fast eksperimentelt design (paradigm).

HVAD ER “NEUROINFORMATICS”?

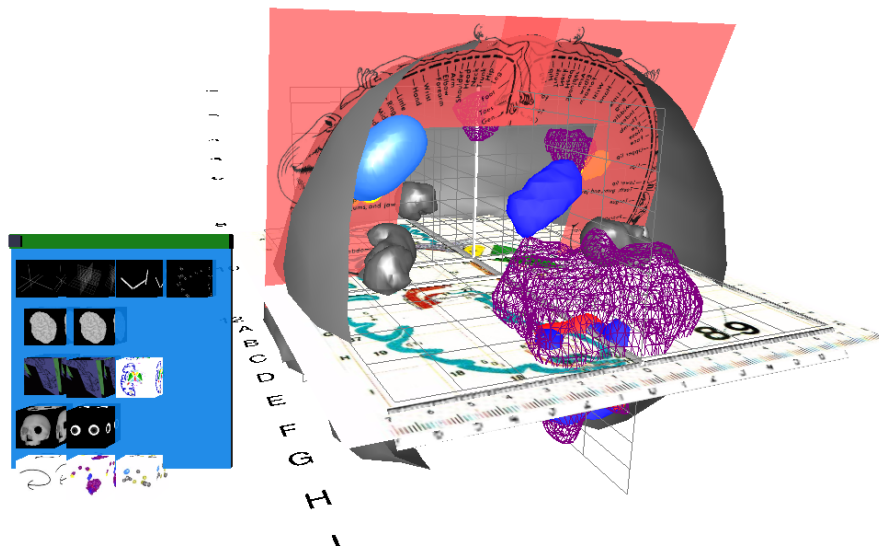


Figure 2: VRML med “summary images” (Ian Law).

- Neuroinformatik = neurovidenskab + informatik
- Præprocessering, e.g., rumlig normalisering til det så-kaldte “Talairach rum”.
- Analyse. Resultatet er ofte et billed (summary image) med en eller flere aktiveringsfokus.
 - Tidserie analyse, e.g., ‘Smooth FIR’.
 - Ikke-superviserede analyse: Klusteranalyse, PCA
 - Kanonisk analyse.
- Meta-analyse. Analyse af publicerede resultater.
 - Få åbne neuroscience databaser (fMRI data center, BrainMap)
 - Meget information i tekst (artikler, web)

“KANONISK ANALYSE”

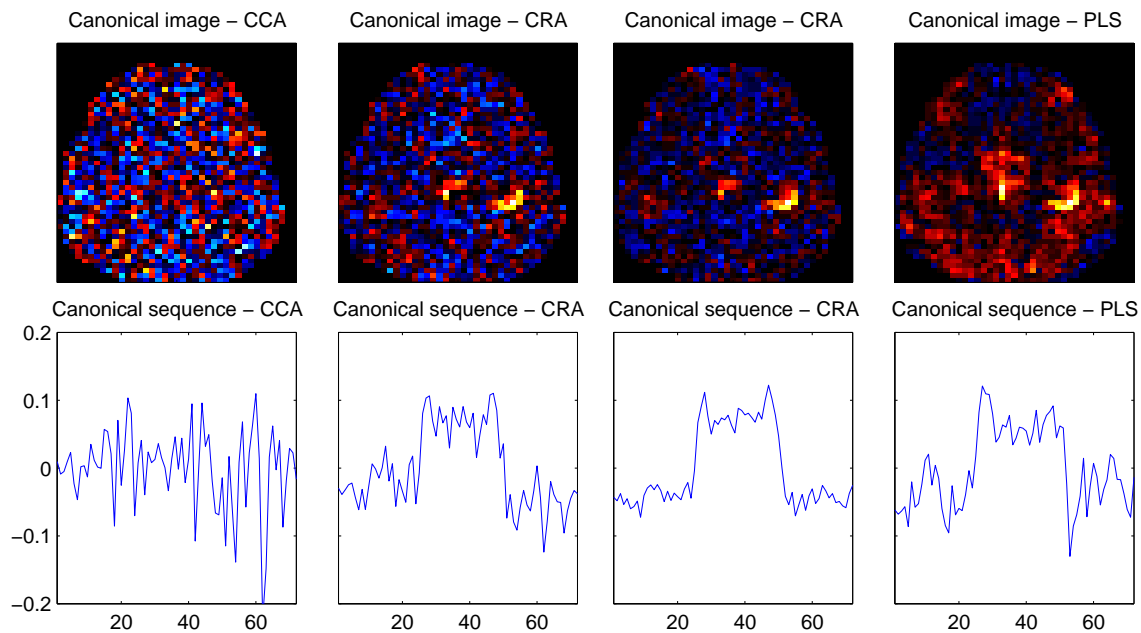


Figure 3: Kanonisk ridge analyse af singulært fMRI data set fra MGH.

- Lineær model mellem to matricer $\mathbf{X}(N \times P)$ og $\mathbf{Y}(N \times Q)$.
- Kanonisk korrelationsanalyse

$$\mathbf{ALB}^T = \mathbf{S}_{\mathbf{xx}}^{-1/2} \text{svd} \left[\mathbf{S}_{\mathbf{xx}}^{-1/2} \mathbf{S}_{\mathbf{xy}} \mathbf{S}_{\mathbf{yy}}^{-1/2} \right] \mathbf{S}_{\mathbf{yy}}^{-1/2}, \quad (1)$$

hvor kovariansen er $\mathbf{S}_{\mathbf{xx}} = N^{-1} \mathbf{X}^T \mathbf{H} \mathbf{X}$.

- Kan ikke direkte anvendes til singulær data data de inverse ikke eksisterer.
- Kanonisk ridge analyse (Vinod, 1976)

$$\tilde{\mathbf{S}}_{\mathbf{xx}} = (1 - k_X) \mathbf{S}_{\mathbf{xx}} + k_X \mathbf{I} \quad (2)$$

$$\tilde{\mathbf{S}}_{\mathbf{yy}} = (1 - k_Y) \mathbf{S}_{\mathbf{yy}} + k_Y \mathbf{I}, \quad (3)$$

KANONISK RIDGE ANALYSE

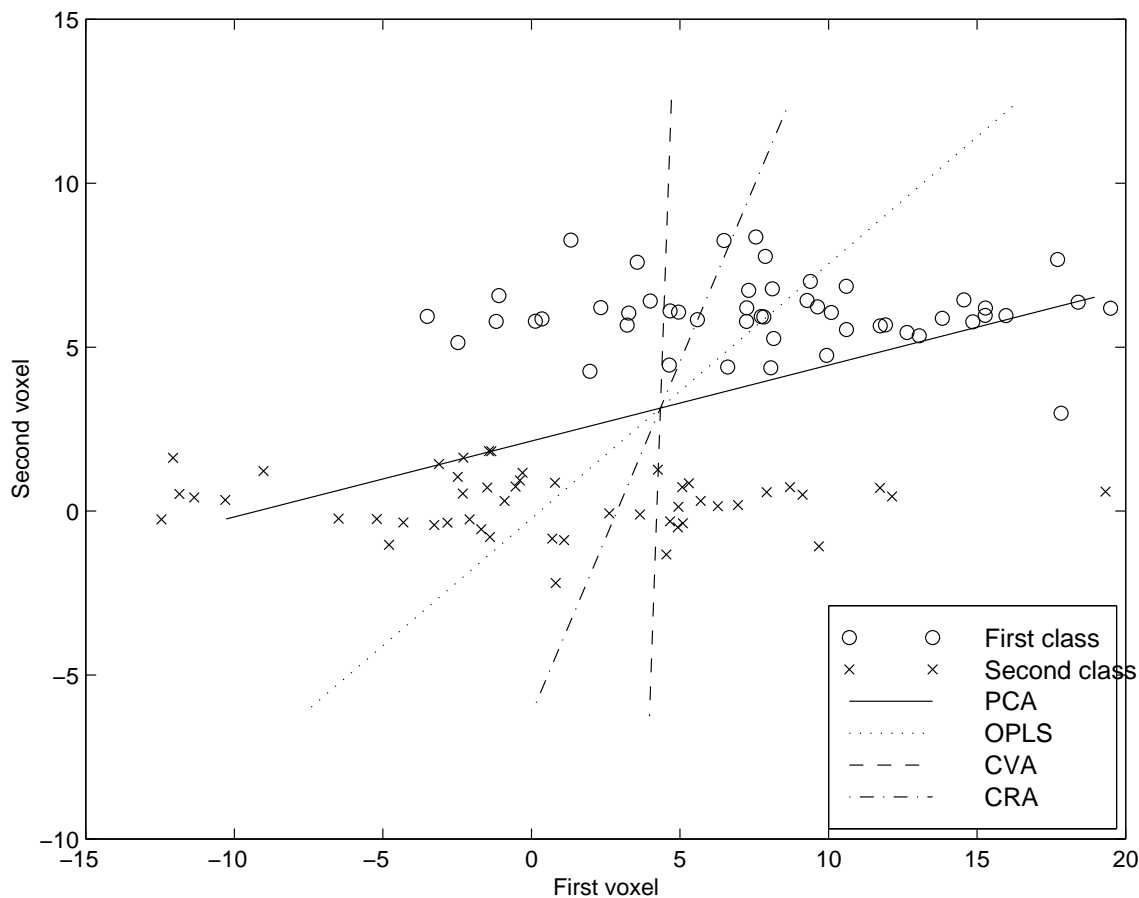


Figure 4: Kanonisk analyse af en to-voxel hjerne.

- En type af “partial least square” with $k_X = k_Y = 1$ (McIntosh et al., 1996).

$$\mathbf{ULV}^T = \text{svd}(\mathbf{X}^T \mathbf{Y}). \quad (4)$$

- “Orthonormalized partial least squares”
 $k_X = 0, k_Y = 1$

$$(\mathbf{X}^T \mathbf{X})^{-1/2} \left[(\mathbf{X}^T \mathbf{X})^{-1/2} \mathbf{X}^T \mathbf{Y} \right] \quad (5)$$

- Principal component analyse med $\mathbf{Y} = \mathbf{I}$ og $k_X = 1$.

KOMBINERING AF ORD OG LINK ANALYSE

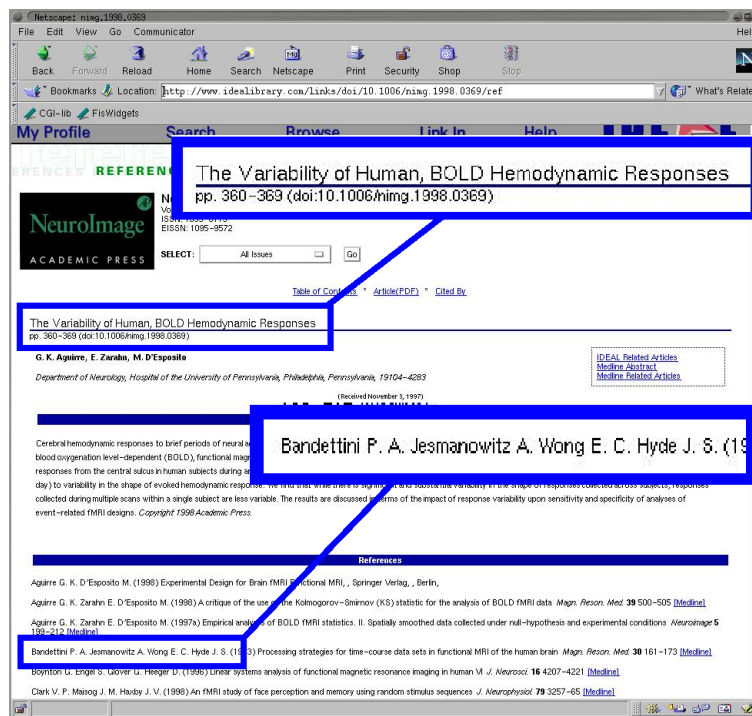


Figure 5: Udtrækning af data for kociteringsanalyse.

- Data fra “NeuroImage”: 325 web-sider med re-suméer og citeringer.
- Udtrækning med perl/matlab: Titel (ord i title), navne på citerede forfattere, osv.
- Eksempler på præprocessering: Navne: Efternavn + ét initial. Tidsskrifttitler: “3-stemming”, f. eks., “Hum Bra Map”, udtagen for visse præfix “neuropsy-”.
- Matrix eksempler: $\mathbf{X}(N \times P)$: Dokument \times forfatter matrix: “Links”. $\mathbf{Y}(N \times Q)$: Dokument \times ord matrix

CITERINGER SOM ET NETVÆRK

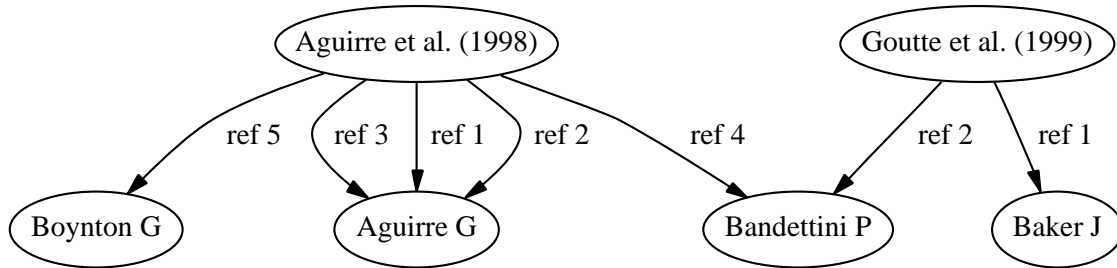


Figure 6: Netværk med artikel der citere forfattere.

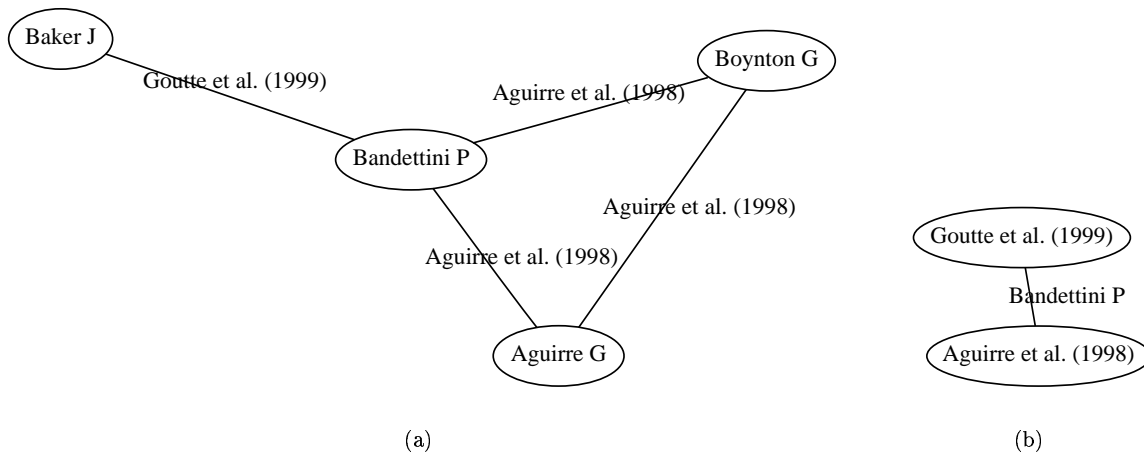


Figure 7: Forfattere og dokumenter som knude punkter

FORFATTERKOCITERINGSANALYSE

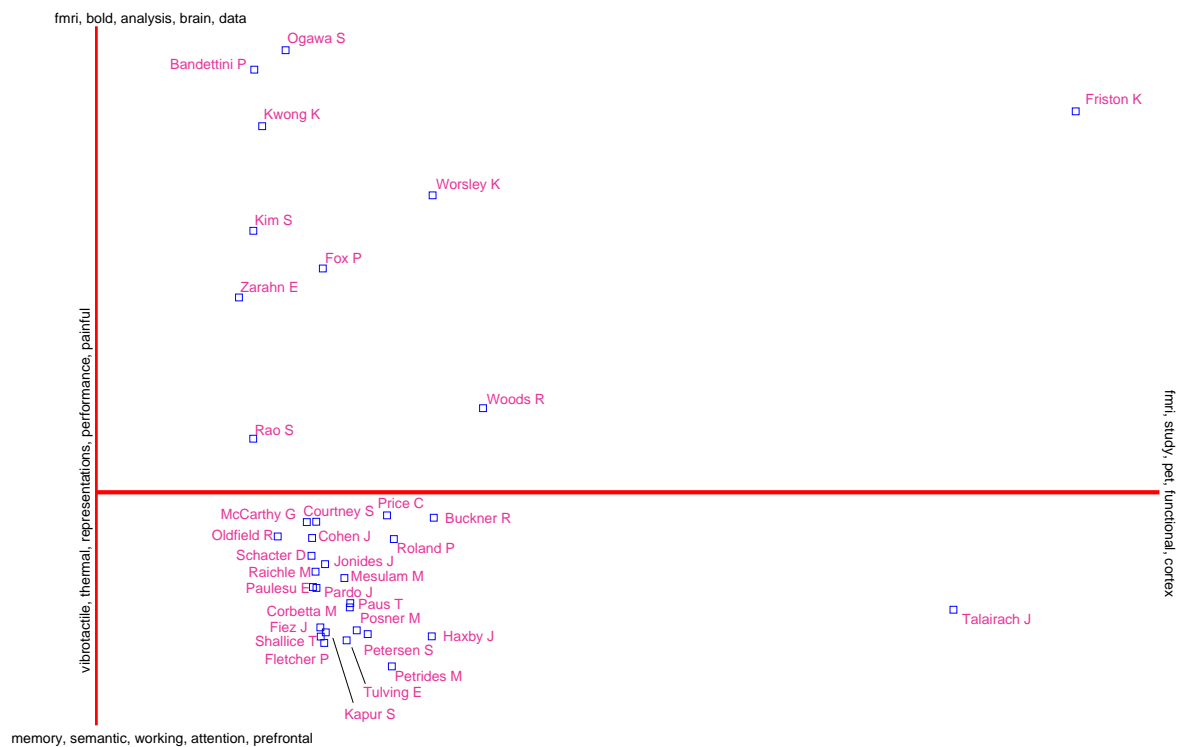


Figure 8: Først og anden principal komponent med de mest citerede forfattere.

- $\mathbf{X}(N \times P)$: Dokument \times citerede forfatter matrix, i.e., listen med citeringer for hver artikel. $N = 325$ dokumenter, $P = 11558$ citerede forfattere.
- “Forfatter kociteringsanalyse” (McCain, 1990; White and Griffith, 1981). Klusteranalyse, multidimensionel skaling, her SVD:

$$\mathbf{X} = \mathbf{U}\mathbf{L}\mathbf{V}^T. \quad (6)$$
- Første principale komponent (Kleinberg, 1997):
 - \mathbf{u}_1 : Hub dokumenter (citere mange autoriteter),
 - \mathbf{v}_1 : Autoritative forfattere (er citeret af mange hubs)

AKSE ANNOTERING

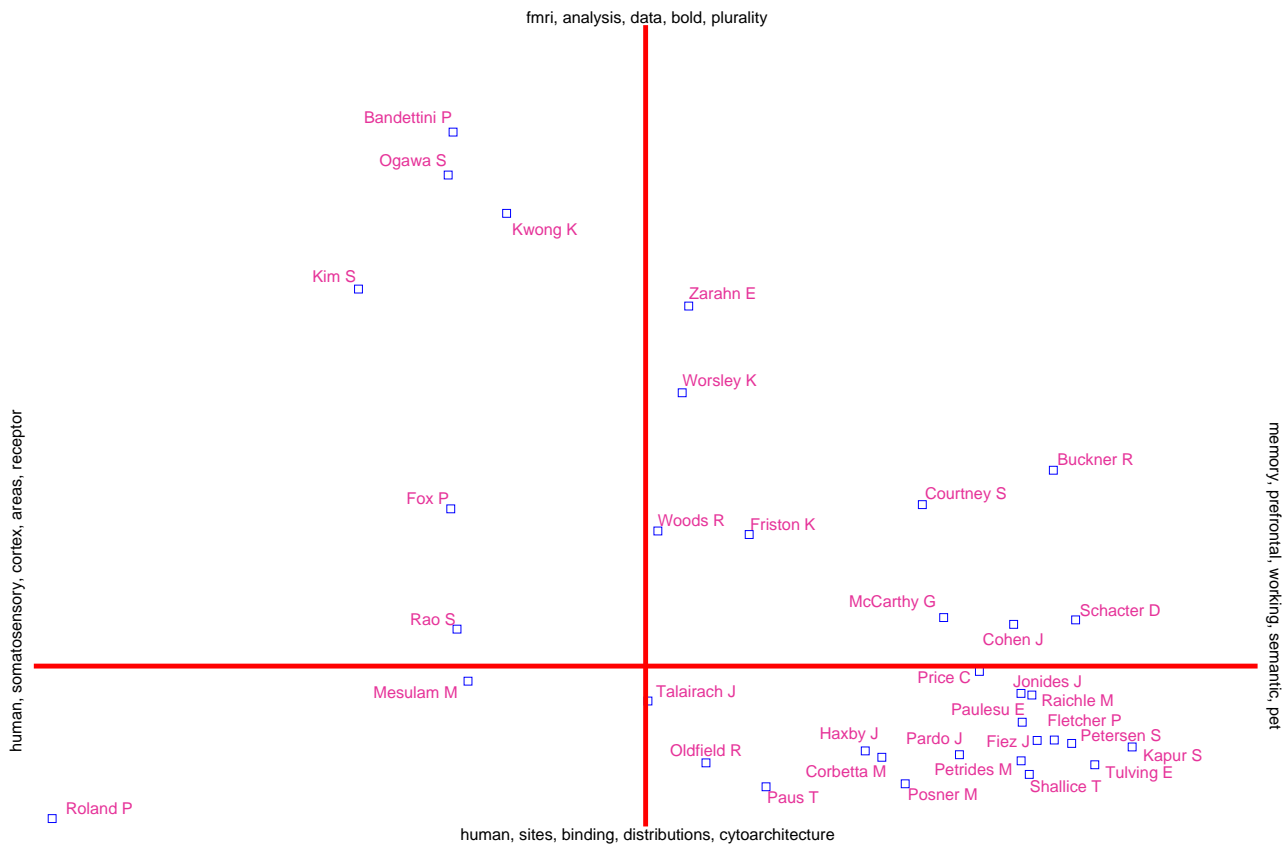


Figure 9: Anden og tredje principale komponenter med de mest citerede forfattere.

- $\mathbf{Y}(N \times Q)$: Dokument \times ord matrix. Ord fra artikeltitlen.
- Projicér ordene på egenforfatter-rummet

$$\mathbf{Z} = \mathbf{Y}^T \mathbf{U} \quad (7)$$

- Akse-annoteringen for den i 'de egenforfatter er de (fem) største elementer med den højeste score i den i 'de kolonne af \mathbf{Z} .

IDENTIFICERING AF GRUPPER

1	2	3	4	5	6
Raichle M	Rosen B	Friston K	Haxby J	Woods R	Roland P
Petersen S	Turner R	Frackowiak R	Ungerleider L	Passingham R	Cherry S
Buckner R	Bandettini P	Frith C	Mintun M	Rao S	Mesulam M
Grasby P	Kwong K	Evans A	Petrides M	Brooks D	Toga A
Grady C	Glover G	Talairach J	D'Esposito M	Mazoyer B	Zatorre R
Miezin F	Jezzard P	Worsley K	Gore J	Binder J	Zilles K
Fletcher P	Belliveau J	Tournoux P	Noll D	Fink G	Van Essen D
Horwitz B	Kim S	Mazziotta J	Cohen J	Grafton S	Weinberger D
Posner M	Hyde J	Poline J	Goldman-Rakic P	Deiber M	Arndt S
Maisog J	Ugurbil K	Holmes A	Meyer E	Hammeke T	Gazzaniga M
Wise R	Kennedy D	Fox P	McCarthy G	Frost J	Lancaster J
Houle S	Weisskoff R	Dolan R	Koeppel R	Hallett M	Ledberg A
Fiez J	Cohen M	Liddle P	Aguirre G	Weiller C	Schlaug G
Shallice T	Wong E	Ashburner J	Smith E	Kleinschmidt A	Steinmetz H
Alpert N	Josephs O	Price C	Minoshima S	Sadato N	Eriksson L
Herscovitch P	Menon R	Heather J	Corbetta M	Silbersweig D	Matelli M
Kapur S	Ogawa S	Neelin P	Jonides J	Kawashima R	Pandya D
Tulving E	Williams S	Watson J	Nobre A	Seitz R	Galaburda A
Paulesu E	Brady T	Marrett S	Shulman G	Tzourio N	Meyer J
Rapoport S	Dale A	Phelps M	Paus T	Allison T	Peters T
McIntosh A	Jesmanowicz A	Carson R	Zarahn E	Nixon P	Schleicher A

Figure 10: NMF of dokument citeret forfatter matrix.

- Non-negative matrix factorization (NMF) (Lee and Seung, 2001)
- Grupper i dette data set:
 - fMRI gruppe: Bruce Rosen, Robert Turner; “fMRI”, “BOLD”, “MRI”.
 - Haxby, Glover: “Memory”, “prefrontal”, “working” modsat “motor”, “human”, “activation” with Mazziotta and Roland.
 - Metodologi: Karl J. Friston, Keith J. Worsley; “Statistical”, “Analysis”

TIDSSKRIFT KOCITATION ANALYSE

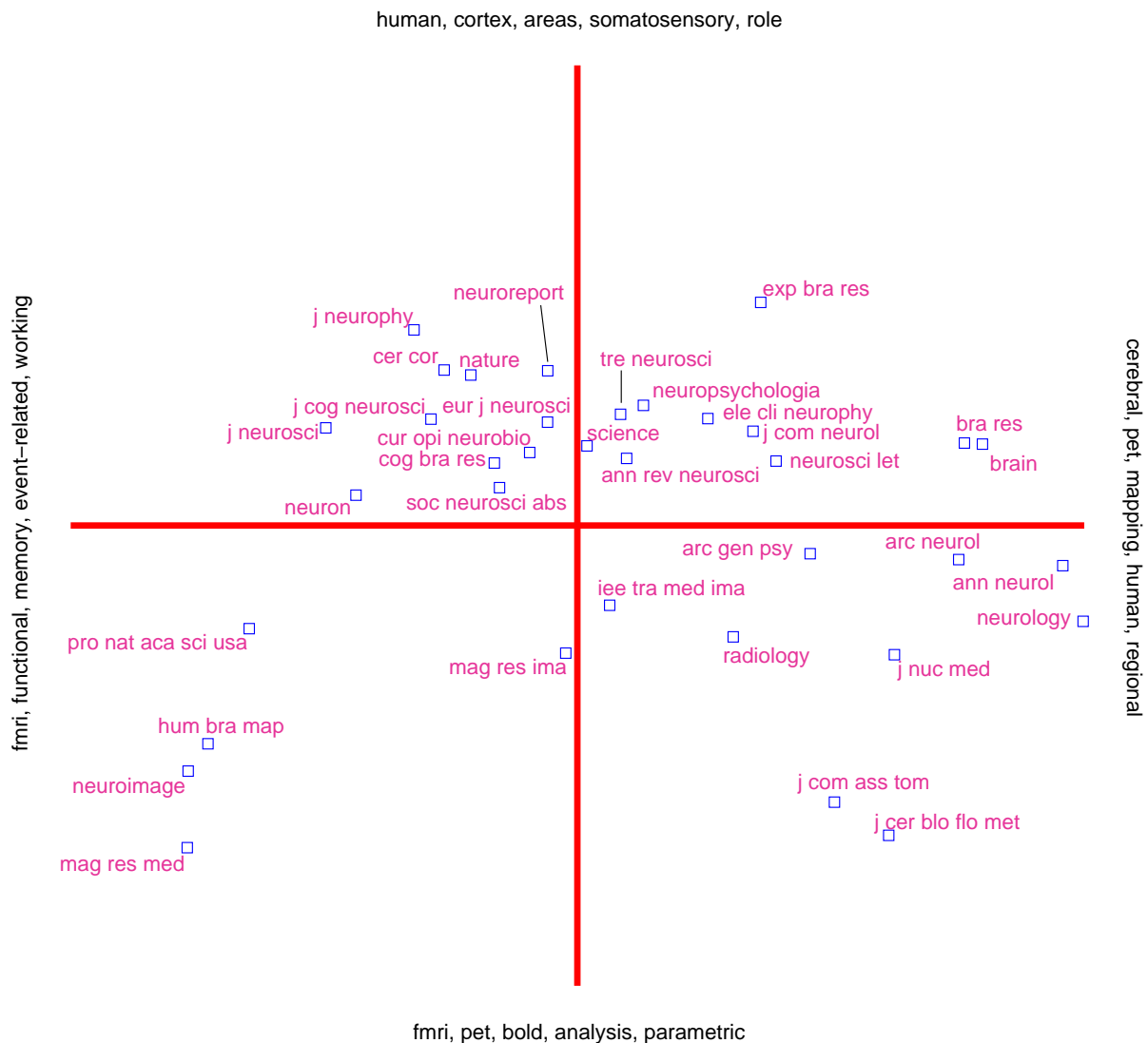


Figure 11: Anden og tredje principale komponent med de mest citerede tidsskrifter fra “NeuroImage”.

- $\mathbf{X}(N \times P)$: Dokument \times citeret tidsskrift matrix.
- Akser: PET versus fMRI, makroskopisk versus mikroskopisk.

KONTEXTFØLSOMME AUTORITETER

Ikke-kontekst	a(fmri)	b(fmri)
Frackowiak R	Friston K	Friston K
Friston K	Frackowiak R	Frackowiak R
Frith C	Turner R	Turner R
Raichle M	Rosen B	Rosen B
Evans A	Raichle M	Frith C
Talairach J	Frith C	Holmes A
Tournoux P	Holmes A	Raichle M
Worsley K	Bandettini P	Bandettini P
Petersen S	Kwong K	Worsley K
Mazziotta J	Worsley K	Poline J
Holmes A	Poline J	Evans A

- Singular værdi dekomposition af ord matrixen (latent sematisk analyse) (Deerwester et al., 1990):

$$\mathbf{Y} = \mathbf{ULV}^T \quad (8)$$

- Projicér en ord vektor \mathbf{v} på \mathbf{y} -rummet med et passende generaliserbart underrum

$$\mathbf{y} = \mathbf{U}f(\mathbf{L})\mathbf{v}^T \quad (9)$$

- Anvendelse af dokument vægtning på forfattere:
 - Enten gennem en ekstra SVD (a):

$$\mathbf{X}^* = \mathbf{y}\mathbf{1}^T \odot \mathbf{X} \quad (10)$$

...og SVD med \mathbf{X}^* .

- Eller ved direkte projicering (b):

$$\mathbf{a} = \mathbf{X}^T \mathbf{y} \quad (11)$$

VISUALISERING AF LINKS

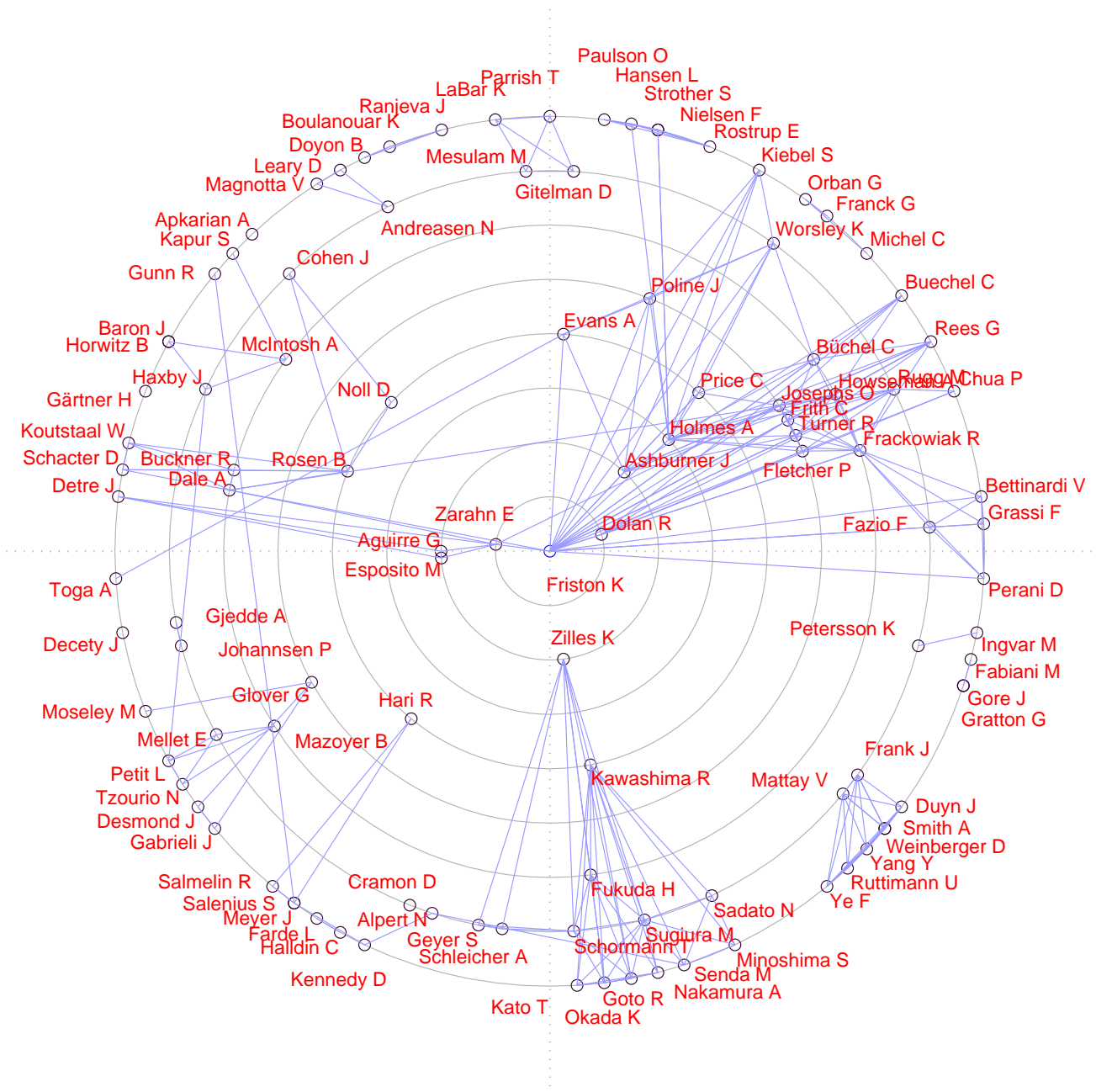


Figure 12: Koforfatterskab bullseyeplot/“targetgram” inspireret af visualisering fra gruppepsykologi. 109 af de mest publiserende forfattere (svarende til tre dokumenter eller mere).

BRAINMAP DATABASEN

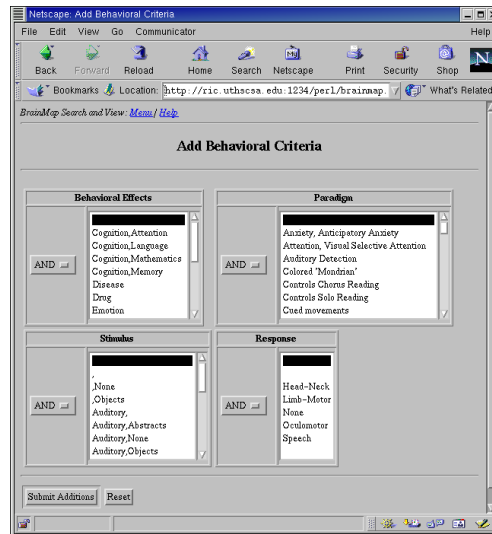


Figure 13: “Behavioral” (adfærds-) kriterier forespørgelse web-page.

- Database med resultater fra funktionelle neuroimaging studier. *Research Imaging Center*, <http://ric.uthscsa.edu>. (Fox and Lancaster, 1994)
- Består af: Entry + Database + Search and View.
 - “BrainMap Entry”. Indtastningsprogram
 - Database. Oracle SQL Relationsdatabase.
 - “BrainMap Search & View”.
- 3 forskellige datastrukturer + adfærdsstruktur
 - Paper (225): Bibliografisk information
 - Experiment (771): Beskrivelse af paradigmet
 - Location (7683): Talairach koordinater, anatomiske og Brodmann label.

MODELLERING AF ANATOMISKE LABELS OG 3D TALAIRACH KOORDINATER

- Modellering af forholdet mellem *3D Talairach koordinater* (tre-dimensionelle kontinuerte værdier) og *anatomiske labels* (BrainMap's "lobar anatomy" tekstfelt).
- Novelty detektion: Opdagelse af usædvanlige entry (outliers).

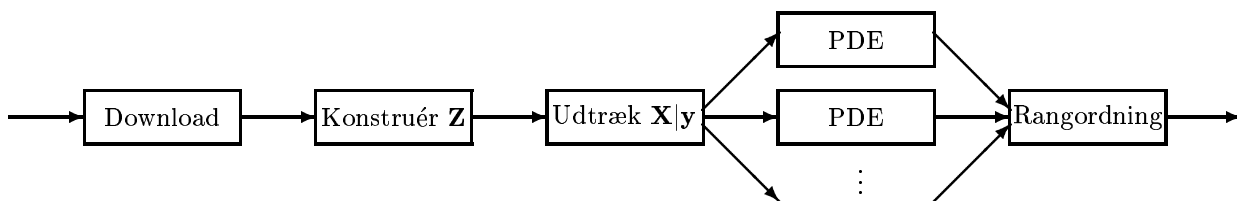


Figure 14: Processeringskema til at finder outliers i BrainMap

- Nedhent BrainMap web-sider med et Perl/Matlab skript
- Konstruér en matrix $\mathbf{Z}(N \times P) = [\mathbf{X}, \mathbf{Y}]$ der indeholder N række svarende til $N = 3935$ *locations*.
- Udtræk undermatrix \mathbf{X} der indeholder Talairach koordinater for en given frase.
- Konstruér tæthedsmodeller for hver undermatrix submatrix.
- Rangorden *location* afhængig af deres tæthedsværdier.

UDTRÆKNING AF LOCATION DATA

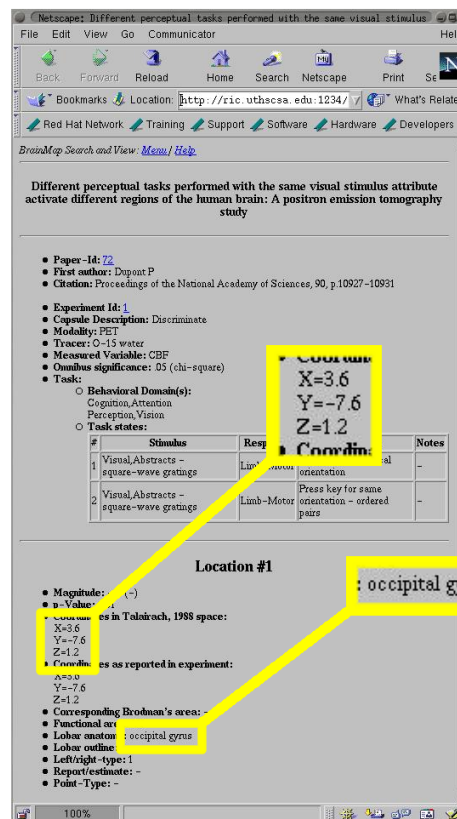
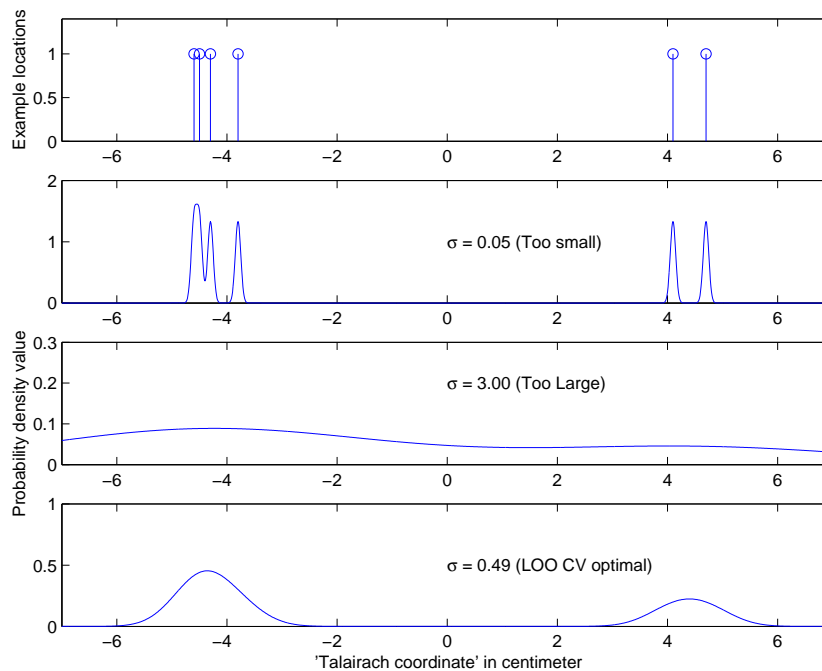


Figure 15: Extraction of data from a “location”.

- Udtræk af Talairach koordinat. Eksempel (3.6, -7.6, 1.2).
- Udtrækning af hvert ord og frase fra feltet “Lobar anatomy”.
- Eksempel “lateral superior parietal” → {“lateral”, “superior”, “parietal”, “lateral superior”, “superior parietal”, “lateral superior parietal”}.
- Flere data punkter for hver *location*.

TÆTHEDSMODELLERING



- Anse “locations” genereret fra en fordeling $p(\mathbf{x}|c)$, hvor \mathbf{x} er en koordinat og c er et ord eller en frase.
- Modeller: Simpel parametrisk fordeling, miksturmodeller, kernemetoder.

$$p(\mathbf{x}) = N^{-1} \sum_n^N (2\pi\sigma^2)^{-3/2} \exp\left(-\frac{1}{2\sigma^2}(\mathbf{x} - \boldsymbol{\mu}_n)^2\right) \quad (12)$$

- Optimering af kernebredden med “lad-en-ud” krydsvalidering.
- Robust to-trins analyse hvor andet trin ekskluderer 5% af *locations* med laveste tæthed.

PDFS FOR LOCATION LABEL

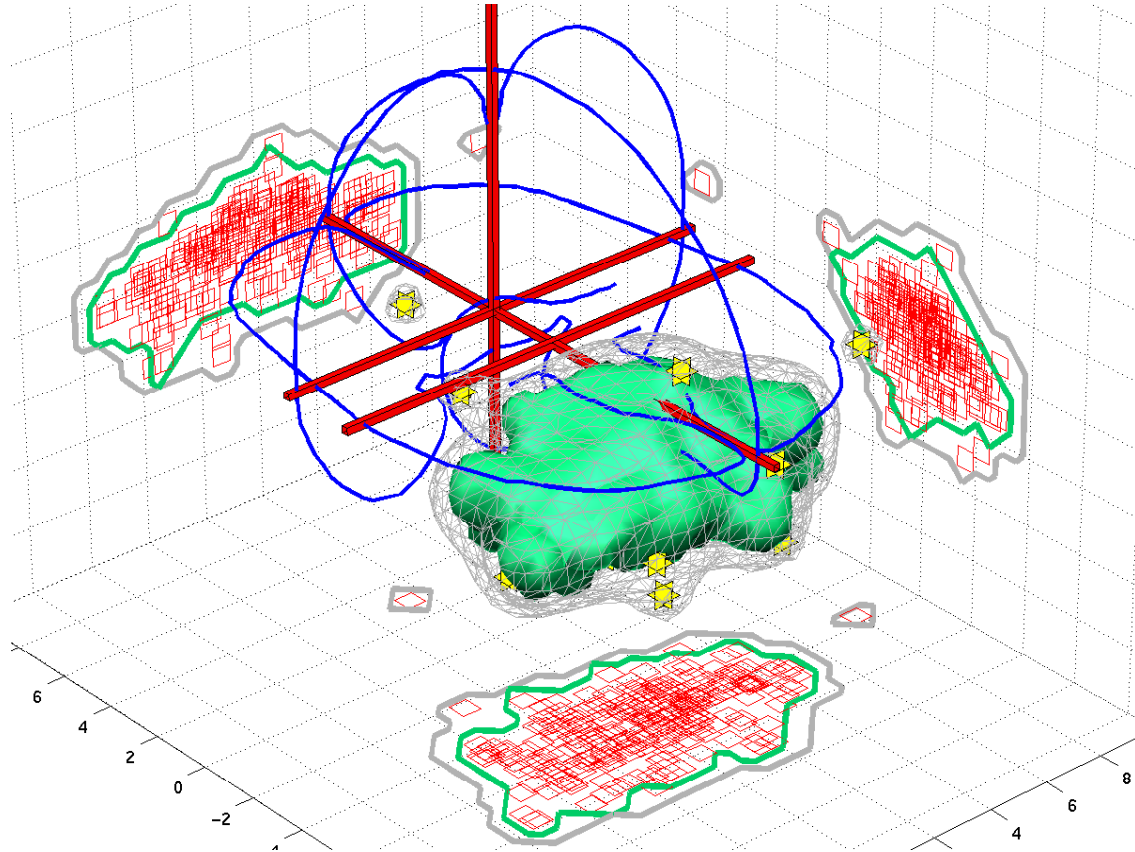


Figure 16: Tætheder for cerebellum (lillehjerne) locations.

- “Corner cube” visualisering. Betingning på anatomiske labler: $p(\mathbf{x}|c = \text{cerebellum})$.
- Gule glyffer: Oprindelige BrainMap locations.
- Grå gitter: Isoflade i første niveau tætheder.
- Grøn flade: Isoflade i andet “robuste” niveau.

RANGORDNING AF OUTLIERE

BrainMap outliers

#	Loglikelihood	Paper	Exp.	Loc.	PMID	Full text	x	y	z	Lobar Anatomy
1	-Inf	267	2	1	8815903	Full text	-0.5	0.7	54.0	sma
2	-254.98	29	10	8	8441008	-	4.5	-3.6	-5.4	superior parietal
3	-213.37	29	10	8	8441008	-	4.5	-3.6	-5.4	parietal
4	-212.65	141	1	10	7953588	-	3.5	15.0	2.8	prefrontal
5	-126.26	249	1	59	-	-	-3.2	4.8	0.2	lobe
6	-121.05	280	1	9	9576541	Full text	2.4	-7.0	-2.4	parietal
7	-120.56	4	2	7	3277066	-	-0.6	2.9	-0.9	cerebellum
8	-99.99	141	1	10	7953588	-	3.5	15.0	2.8	dorsolateral
9	-87.58	280	1	7	9576541	Full text	3.8	2.4	-0.8	parietal
10	-81.41	249	1	29	-	-	-0.2	2.6	1.6	lobe
11	-80.71	280	1	9	9576541	Full text	2.4	-7.0	-2.4	parietal cortex
12	-78.84	277	3	3	8799180	Full text	-5.0	-4.2	-1.4	frontal
13	-66.52	115	2	5	-	-	-3.8	5.4	0.0	middle temporal
14	-61.98	19	2	17	1985266	-	2.2	-6.1	4.0	frontal
15	-59.31	47	4	1	-	-	-3.6	3.2	2.8	lobe
16	-55.56	277	3	3	8799180	Full text	-5.0	-4.2	-1.4	frontal gyrus
17	-48.63	115	2	5	-	-	-3.8	5.4	0.0	temporal gyrus
18	-47.57	65	2	23	8130929	-	5.7	2.6	4.5	cingulate
19	-47.12	115	2	5	-	-	-3.8	5.4	0.0	temporal
20	-46.31	52	1	2	-	-	3.6	-4.6	3.6	inferior frontal gyrus
21	-46.04	277	3	3	8799180	Full text	-5.0	-4.2	-1.4	inferior frontal gyrus
22	-44.82	52	1	1	-	-	-4.0	-3.4	0.4	frontal
23	-42.35	52	1	2	-	-	3.6	-4.6	3.6	frontal
24	-42.27	277	3	3	8799180	Full text	-5.0	-4.2	-1.4	inferior frontal
25	-40.68	61	1	12	8134341	Full text	-2.4	4.2	0.4	temporal

- Automatisk genereret liste med hyperlinks.
- Elementer sorteret efter novelty
- 2. og 3. element: “superior parietal”, “parietal”.
Mere information i en frase end i et ord.

“MANUEL” UNDERSØGELSE AF OUTLIERS

No.	BrainMap	x	y	z	BrainMap label	Comment	Reference
1	267, 2, 1	-5	7	540	SMA	Millimeter and centimeter for z-coordinate confused during BrainMap entry	(Buckner et al., 1996, table 4, entry 1)
2	29, 10, 8	48	-23	-51	Lateral superior parietal	Resolved: Transcription mistake.	(Corbetta et al., 1993, table 5)
3	141, 1, 10	35	150	28	Dorsolateral prefrontal	Millimeter and centimeter for y-coordinate confused during BrainMap entry	(Kosslyn et al., 1994, table 2, entry 10)
4	249, 1, 59	-31.8	48.1	2.2	Subgyral frontal lobe	Correct	S. K. Brannan, 1997, Unpublished
5	280, 1, 9	24	-70	-24	Dorsal parietal cortex	Is labeled “Right cerebellum” in the article	(Schlösser et al., 1998, table 1, entry 9)
6	4, 2, 7	-6	42	-8	Cerebellum — superior anterior	Not possible to find the foci in the article.	(Petersen et al., 1988)
7	280, 1, 7	38	24	-8	Dorsolateral parietal	Is labeled “Right orbitofrontal cortex” in the article	(Schlösser et al., 1998, table 1, entry 7)
8	249,1,29	-2	26	16	Limbic Lobe	Correct	S. K. Brannan, 1997, Unpublished
9	277, 3, 3	-50	-42	-14	Inferior frontal gyrus, posterior	Is labeled “inferior temporal gyrus posterior (area 37)” in the article	(Owen et al., 1996, table 2, entry 3)
10	115, 2, 5	-38	54	0	Middle temporal gyrus	Not resolved.	(Shaywitz et al., 1995, page 155)
11	19,2,17	24	-47	38	Frontal	Not resolved	(Pardo et al., 1991, Table 1a, entry 17)
12	47,4,1	-36	32	28	Medial frontal lobe	Correct	(George et al., 1994)
13	65, 2, 23	57	26	45	Anterior cingulate	Millimeter and centimeter for x-coordinate confused during BrainMap entry.	(O'Sullivan et al., 1994, table 4, entry 10)
14	52, 1, 2	36	-46	36	Inferior frontal gyrus	Probably misunderstanding of the text during entry. The foci is around supra-marginal gyrus and the denoted “BA40”.	(Becker et al., 1994, page 287)
15	61, 1, 12	-24	42	4	Temporal/insular	Resolved: Transcription mistake.	(Tulving et al., 1994, table 1)

Table 1: BrainMap outliers. Elementerne er ordnet i henhold til novelty. Anden kolonne er “paper”, “experiment” og “location” identifikator fra BrainMap. Tredie til femte kolonne er x, y og z med “reported” koordinater fra BrainMap (ikke de korregerede “Talairach 1988” koordinater).

ORDET “LOBE”

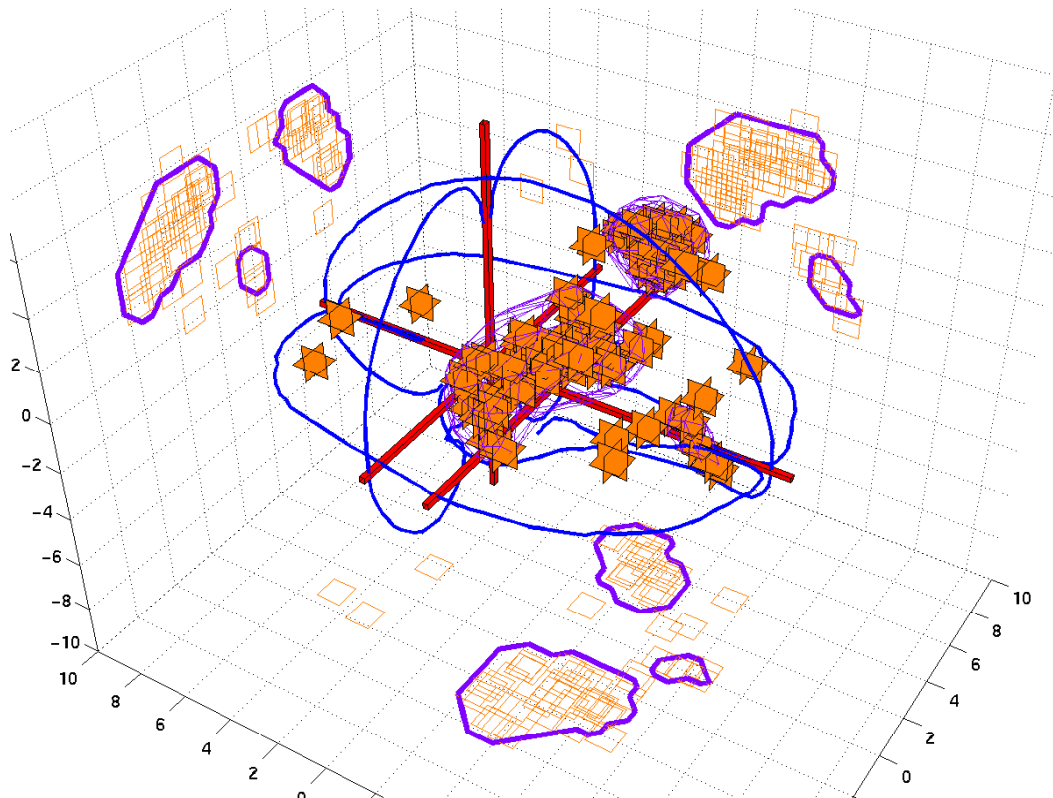


Figure 17: Tæthed af ordet “lobe”. Den blå/magenta gittermodel er andet trins tæthed ved $P_{HPD} = 0.5$ tærskel, og den orange glyf er “lobe” BrainMap locations.

Antal	Lobar Anatomy
60	inferior parietal lobe
10	superior parietal lobe
6	midline occipital lobe
2	limbic lobe
1	subgyral frontal lobe
1	paracentral parietal lobe
1	medial occipital gyrus/temporal lobe
1	medial frontal lobe

- “Lobe” location er fokuseret i bestemte områder.

HJERNEATLAS

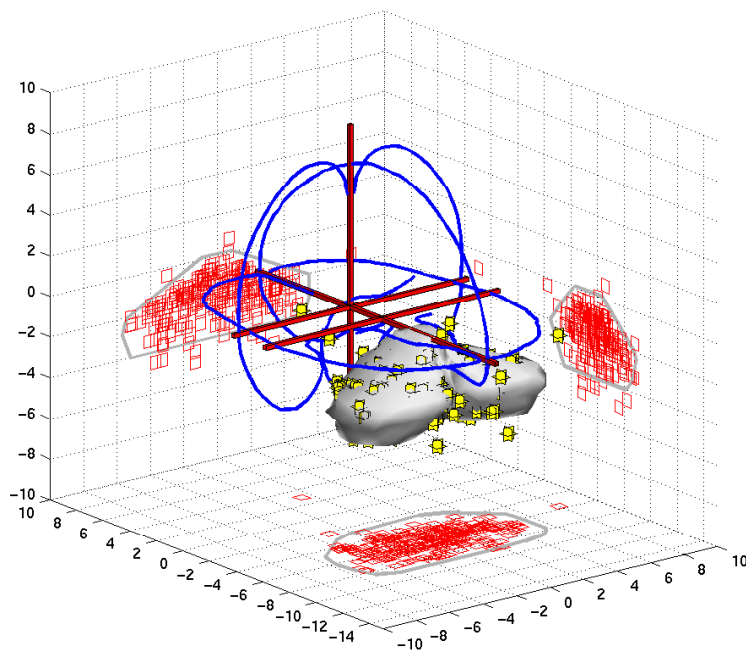


Figure 18: Talairach cerebellum.

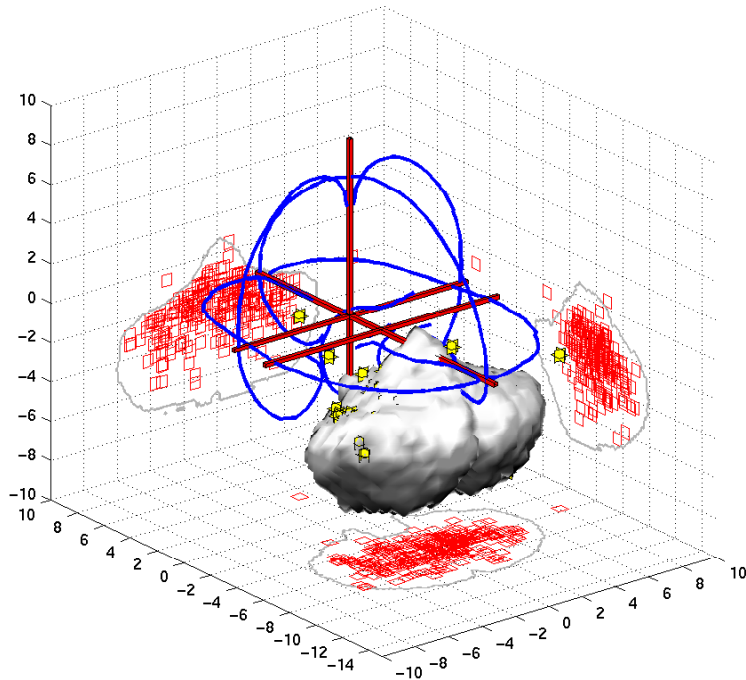


Figure 19: MNI cerebellum.

MODELLERING AF ADFÆRDSDATA OG 3D TALAIRACH KOORDINATER

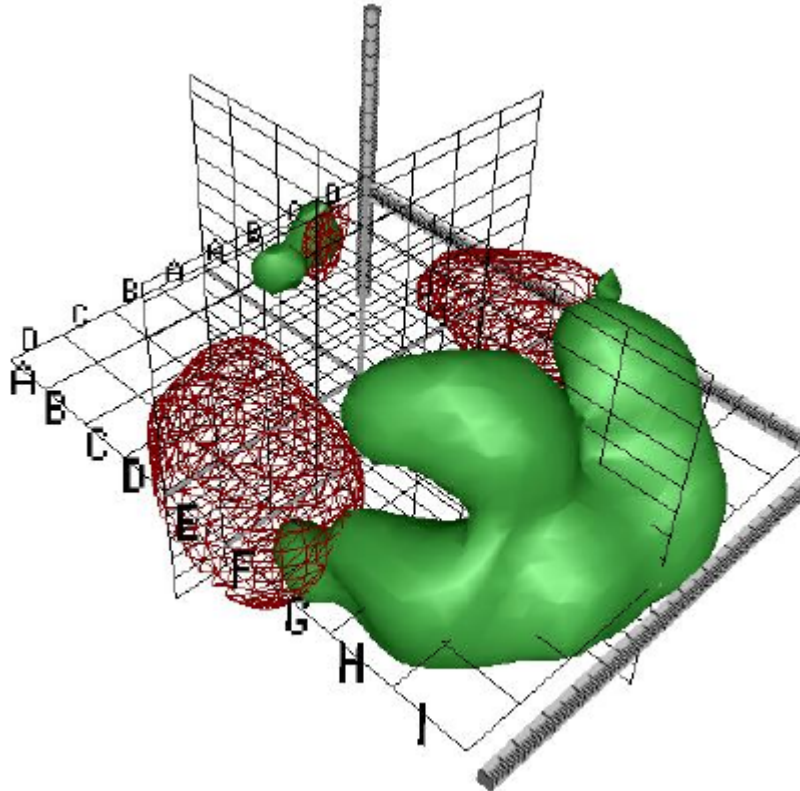


Figure 20: Tætheder fra “Vision” og “Audition” adfærdsparadigm i BrainMap.

- Betingning på adfærd: $p(\mathbf{x} | \text{behavior} = \text{“vision”})$.
- Problem: Adfærdskrivelsen er på *experiment* niveau. Resumé og andet et endnu højere niveau. Multiple betingning
- Anvendt for enkeltordslæsning med 154 håndplukket *locations* (Turkeltaub et al., 2001). “Functional volume modeling” (Fox et al., 1997)

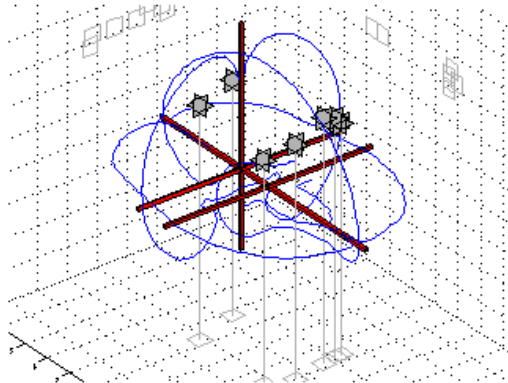
RELATEREDE VOLUMNER

Related volumes

[Jerne](#) > [Neuroinformatics](#) > [Related volumes](#) > 100

(100) Shift R in R vis. field
A PET study of visuospatial attention.
 Corbetta M, *Journal of Neuroscience* **13**(3):1202-1226,
 PMID: [8441006](#)
 [[BrainMap](#) : [paper 29](#) | [exp 12](#)]

x	y	z
-25	-52	38
27	-52	43
23	-52	47
-23	6	45
14	-55	51
-8	-59	45
7	16	45



Related volumes – correlated

(99) Shift L in R vis. field
A PET study of visuospatial attention.
 Corbetta M, *Journal of Neuroscience* **13**(3):1202-1226, PMID: [8441008](#)
 [[BrainMap](#) : [paper 29](#) | [exp 11](#)]

(98) Shift R in L vis. field
A PET study of visuospatial attention.
 Corbetta M, *Journal of Neuroscience* **13**(3):1202-1226, PMID: [8441008](#)
 [[BrainMap](#) : [paper 29](#) | [exp 10](#)]

(296) Saccades/anti-prostimulus
Role of the human anterior cingulate cortex in the control of oculomotor, manual, and speech responses: a positron emission tomography study.
 Paus T, *Journal of Neurophysiology* **70**(2):453-469, PMID: [8410148](#)
 [[BrainMap](#) : [paper 108](#) | [exp 10](#)]

Figure 21: Genereret web-sider (Corbetta et al., 1993).

- Konstruering af matrix $\mathbf{X}(N \times P)$ med voxeliserede BrainMap eksperimenter og andre volumner.
- Måling af afstand mellem de N volumner i \mathbf{X} , f. eks. med korrelationkoefficienten.
- Rangordning af de $N - 1$ volumener for hver volume og rapportering på web-side.

KONKLUSION

- Kanonisk ridge analyse til singulær data
- Kombineret af tekst og link analyse gennem koteringsanalyse.
 - Identificering af relevante grupper.
 - Kontekstfølsomme autoriteter
- Automatisk ikke-superviseret outlierdetektion i BrainMap.
 - Ingen intervention er nødvendig
 - Finder “interessante” outliers: Indtastningsfejl, fejl i artiklen.
- “Relaterede volumner” er det muligt at finde.
- *Lyngby* Matlab toolbox til modellering af funktionelle hjernebilleder.
- *Brede* Matlab toolbox til håndtering, modellering og visualisering af BrainMap data og lignende.

ERRATA

- Ligning 3.27, side 47

$$\mathbf{ULV}^T = \text{svd} [\mathbf{HXD}^{-1}] \quad (13)$$

hvor $\mathbf{D}(P \times P)$ er en diagonal matrix med standard afvigelse for hver variable. Dette er skala transformationen (Mardia et al., 1979, sektion 1.5.1).

- Samme fejl i ligning 3.117, side 67.

LITTERATUR

References

- Becker, J. T., Mintun, M. A., Diehl, D. J., Dobkin, J., Martidis, A., Madoff, D. C., and Dekosky, S. T. (1994). Functional neuroanatomy of verbal free recall: A replication study. *Human Brain Mapping*, 1(4):284–292.
- Buckner, R. L., Raichle, M. E., Miezin, F. M., and Petersen, S. E. (1996). Functional anatomic studies of memory retrieval for auditory words and visual pictures. *The Journal of Neuroscience*, 16(19):6219–6235.
- Corbetta, M., Miezin, F. M., Shulman, G. L., and Petersen, S. E. (1993). A PET study of visuospatial attention. *The Journal of Neuroscience*, 13(3):1202–1226. PMID: 8441008. ISSN 0270-6474, [defkat.dk — bibliotek.dk].
- Deerwester, S., Dumais, S. T., Furnas, G. W., Landauer, T. K., and Harshman, R. (1990). Indexing by latent semantic analysis. *Journal of the American Society for Information Science*, 41(6):391–407. <http://www.si.umich.edu/~furnas/POSTSCRIPTS/LSI.JASIS.paper.ps>. ResearchIndex: <http://citeseer.nj.nec.com/deerwester90indexing.html>.
- Fox, P. T. and Lancaster, J. L. (1994). Neuroscience on the net. *Science*, 266(5187):994–996. PMID: 7973682.
- Fox, P. T., Lancaster, J. L., Parsons, L. M., Xiong, J.-H., and Zamarripa, F. (1997). Functional volumes modeling: Theory and preliminary assessment. *Human Brain Mapping*, 5(4):306–311. <http://www3.interscience.wiley.com/cgi-bin/abstract/56435/START>.
- George, M. S., Ketter, T. A., Parekh, B. A., Gill, D. S., Huggins, T., Marangell, L., Pazaglia, P. J., and Post, R. (1994). Spatial ability in affective illness: differences in regional brain activation during a spatial matching task ($H_2^{15}O$ PET). *Neuropsychiatry, Neuropsychology, and Behavioral Neurology*, 7(3):143–153.
- Kleinberg, J. M. (1997). Authoritative sources in a hyperlinked environment. Technical Report 10076(91892), IBM.
- Kosslyn, S. M., Alpert, N. M., Thompson, W. L., Chabris, C. F., Rauch, S. L., and Anderson, A. K. (1994). Identifying objects seen from different viewpoints, a PET investigation. *Brain*, 117:1055–1071.
- Lee, D. D. and Seung, H. S. (2001). Algorithms for non-negative matrix factorization.
- Mardia, K. V., Kent, J. T., and Bibby, J. M. (1979). *Multivariate Analysis*. Academic Press, London. ISBN 0124712525, [defkat.dk — bibliotek.dk — amazon.com — bn.com].
- McCain, K. W. (1990). Mapping authors in intellectual space: A technical overview. *Journal of the American Society for Information Science*, 41(6):433–443.
- McIntosh, A. R., Bookstein, F. L., Haxby, J. V., and Grady, C. L. (1996). Spatial pattern analysis of functional brain images using Partial Least Square. *NeuroImage*, 3(3 part 1):143–157. PMID: 9345485. ftp://ftp.rotman-baycrest.on.ca/pub/Randy/PLS/pls_article.pdf.
- O’Sullivan, B. T., Roland, P. E., and Kawashima, R. (1994). A PET study of somatosensory discrimination in man. Microgeometry versus macrogeometry. *European Journal of Neuroscience*, 6(1):137–148. PMID: 8130929.
- Owen, A. M., Milner, B., Petrides, M., and Evans, A. C. (1996). Memory for object features versus memory for object location: A positron-emission tomography study of encoding and retrieval processes. *Proceedings of the National Academy of Sciences USA*, 93(17):9212–9217. PMID: 8799180.
- Pardo, J. V., Raichle, M. E., and Fox, P. T. (1991). Localization of a human system for sustained attention by positron emission tomography. *Nature*, 349(6304):61–63. PMID: 1985266.
- Petersen, S. E., Fox, P. T., Posner, M. I., Mintun, M., and Raichle, M. E. (1988). Positron emission tomographic studies of the cortical anatomy of single-word processing. *Nature*, 331(6157):585–589. PMID: 3277066.
- Roweis, S. and Brody, C. (1999). Linear heteroencoders. Technical Report GCNU-TR-1999-02, Gatsby Computational Neuroscience Unit, Alexandra House, 17 Queen Square, LONDON, WC1N 3AR, U.K.
- Schlösser, R., Hutchinson, M., Joseffer, S., Rusinek, H., Saarimaki, A., Stevenson, J., Dewey, S. L., and Brodie, J. D. (1998). Functional magnetic resonance imaging of human brain activity in a verbal fluency task. *Journal of Neurology, Neurosurgery, and Psychiatry*, 64(4):492–495. PMID: 9576541. <http://jnnp.bmjournals.com/cgi/content/full/64/4/492>.
- Shaywitz, B. A., Pugh, K. R., Constable, R. T., Shaywitz, S. E., Bronen, R. A., Fulbright, R. K., Shankweiler, D. P., Katz, L., Fletcher, J. M., Skudlarski, P., and Gore, J. C. (1995). Localization of semantic processing using functional magnetic resonance imaging. *Human Brain Mapping*, 2:149–158.
- Tulving, E., Kapur, S., Markowitsch, H. J., Craik, F. I. M., Habib, R., and Houle, S. (1994). Neuroanatomical correlates of retrieval in episodic memory: Auditory sentence recognition. *Proceedings of the National Academy of Sciences of the USA*, 91:2012–2015.
- Turkeltaub, P., Eden, G. F., Jones, K. M., and Zeffiro, T. A. (2001). A novel meta-analysis technique applied to single word reading. *NeuroImage*, 13(6 (part 2)):S272. <http://www.apnet.com/www/journal/hbm2001/10478.html>.
- Vinod, H. D. (1976). Canonical ridge and econometrics of joint production. *J. Econometrics*, 4:147–166.
- White, H. D. and Griffith, B. C. (1981). Author cocitation: A literature measure of intellectual structure. *Journal of the American Society for Information Science*, 32:163–171.